

# Modélisation de l'influence de la géométrie de la crosse aortique sur la pression artérielle

Y. Maday, N. Poussineau, M. Szopos

Laboratoire Jacques-Louis Lions,  
Université Pierre et Marie Curie, Paris VI

- CANUM, 30 mai 2006 -

# Plan

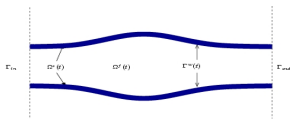
- Modèle mathématique
- Approche numérique
- Application
- Conclusions et perspectives

# Plan

- 1 **Modèle mathématique**
- 2 Approche numérique
- 3 Application
- 4 Conclusions et perspectives

# Cadre

- Sang : fluide homogène, incompressible et newtonien, dans le domaine mobile  $\Omega^f(t)$  ; équations de Navier-Stokes.
- Paroi : solide hyperélastique homogène, occupant le domaine  $\Omega^s(t)$  ; équations de l'élasticité linéaire 3D.
- Interface fluide-solide :  $\Gamma^W(t)$ , où l'on impose des conditions de couplage.

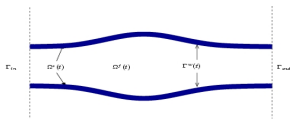


## But :

Modéliser l'écoulement sanguin dans l'aorte comme un phénomène complexe d'interaction fluide-structure.

# Cadre

- Sang : fluide homogène, incompressible et newtonien, dans le domaine mobile  $\Omega^f(t)$  ; équations de Navier-Stokes.
- Paroi : solide hyperélastique homogène, occupant le domaine  $\Omega^s(t)$  ; équations de l'élasticité linéaire 3D.
- Interface fluide-solide :  $\Gamma^w(t)$ , où l'on impose des conditions de couplage.



## But :

Modéliser l'écoulement sanguin dans l'aorte comme un phénomène complexe d'interaction fluide-structure.

# Problème couplé

- Fluide :

$$\rho^f \left( \frac{\partial \mathbf{u}}{\partial t} \Big|_{\mathbf{x}_0} + (\mathbf{w} - \mathbf{u}) \cdot \nabla \mathbf{u} \right) - 2\mu \operatorname{div} \varepsilon(\mathbf{u}) + \nabla p = \mathbf{0}, \quad \text{dans } \Omega^f(t),$$

$$\operatorname{div} \mathbf{u} = 0, \quad \text{dans } \Omega^f(t),$$

$$\sigma(\mathbf{u}, p) \mathbf{n} = \mathbf{g}_{in-out}, \quad \text{sur } \Gamma_{in-out}.$$

- Solide :

$$\rho^s \frac{\partial^2 \mathbf{d}^s}{\partial t^2} - \operatorname{div}_0(F(\mathbf{d}^s)S(\mathbf{d}^s)) = \mathbf{0}, \quad \text{dans } \Omega_0^s,$$

$$\mathbf{d}^s = \mathbf{0}, \quad \text{sur } \Gamma_0^D,$$

$$F(\mathbf{d}^s)S(\mathbf{d}^s)\mathbf{n}_0 = \mathbf{0} \quad \text{sur } \Gamma_0^N.$$

- Conditions du couplage :

géométrique :  $\mathbf{d}^f = \operatorname{Ext}(\mathbf{d}^s|_{\Gamma_0^w})$ , dans  $\Omega_0^f$ ,  $\Omega^f(t) = (Id + \mathbf{d}^f)(\Omega_0^f)$ ,

en vitesse :  $\mathbf{u} = \mathbf{w}$ , sur  $\Gamma^w(t)$ ,

en effort :  $F(\mathbf{d}^s)S(\mathbf{d}^s)\mathbf{n}_0 = J(\mathbf{d}^f)\sigma(\mathbf{u}, p)F(\mathbf{d}^f)^{-T}\mathbf{n}_0$ , sur  $\Gamma_0^w$ .

# Problème couplé

- Fluide :

$$\rho^f \left( \frac{\partial \mathbf{u}}{\partial t} \Big|_{\mathbf{x}_0} + (\mathbf{w} - \mathbf{u}) \cdot \nabla \mathbf{u} \right) - 2\mu \operatorname{div} \varepsilon(\mathbf{u}) + \nabla p = \mathbf{0}, \quad \text{dans } \Omega^f(t),$$

$$\operatorname{div} \mathbf{u} = 0, \quad \text{dans } \Omega^f(t),$$

$$\sigma(\mathbf{u}, p) \mathbf{n} = \mathbf{g}_{in-out}, \quad \text{sur } \Gamma_{in-out}.$$

- Solide :

$$\rho^s \frac{\partial^2 \mathbf{d}^s}{\partial t^2} - \operatorname{div}_0(F(\mathbf{d}^s)S(\mathbf{d}^s)) = \mathbf{0}, \quad \text{dans } \Omega_0^s,$$

$$\mathbf{d}^s = \mathbf{0}, \quad \text{sur } \Gamma_0^D,$$

$$F(\mathbf{d}^s)S(\mathbf{d}^s)\mathbf{n}_0^s = \mathbf{0} \quad \text{sur } \Gamma_0^N.$$

- Conditions du couplage :

géométrique :  $\mathbf{d}^f = \operatorname{Ext}(\mathbf{d}^s|_{\Gamma_0^w})$ , dans  $\Omega_0^f$ ,  $\Omega^f(t) = (Id + \mathbf{d}^f)(\Omega_0^f)$ ,

en vitesse :  $\mathbf{u} = \mathbf{w}$ , sur  $\Gamma^w(t)$ ,

en effort :  $F(\mathbf{d}^s)S(\mathbf{d}^s)\mathbf{n}_0 = J(\mathbf{d}^f)\sigma(\mathbf{u}, p)F(\mathbf{d}^f)^{-T}\mathbf{n}_0$ , sur  $\Gamma_0^w$ .

# Problème couplé

- Fluide :

$$\rho^f \left( \frac{\partial \mathbf{u}}{\partial t} \Big|_{\mathbf{x}_0} + (\mathbf{w} - \mathbf{u}) \cdot \nabla \mathbf{u} \right) - 2\mu \operatorname{div} \varepsilon(\mathbf{u}) + \nabla p = \mathbf{0}, \quad \text{dans } \Omega^f(t),$$

$$\operatorname{div} \mathbf{u} = 0, \quad \text{dans } \Omega^f(t),$$

$$\sigma(\mathbf{u}, p) \mathbf{n} = \mathbf{g}_{in-out}, \quad \text{sur } \Gamma_{in-out}.$$

- Solide :

$$\rho^s \frac{\partial^2 \mathbf{d}^s}{\partial t^2} - \operatorname{div}_0(F(\mathbf{d}^s)S(\mathbf{d}^s)) = \mathbf{0}, \quad \text{dans } \Omega_0^s,$$

$$\mathbf{d}^s = \mathbf{0}, \quad \text{sur } \Gamma_0^D,$$

$$F(\mathbf{d}^s)S(\mathbf{d}^s)\mathbf{n}_0 = \mathbf{0} \quad \text{sur } \Gamma_0^N.$$

- Conditions du couplage :

géométrique :  $\mathbf{d}^f = \operatorname{Ext}(\mathbf{d}^s|_{\Gamma_0^w}), \quad \text{dans } \Omega_0^f, \quad \Omega^f(t) = (\operatorname{Id} + \mathbf{d}^f)(\Omega_0^f),$

en vitesse :  $\mathbf{u} = \mathbf{w}, \quad \text{sur } \Gamma^w(t),$

en effort :  $F(\mathbf{d}^s)S(\mathbf{d}^s)\mathbf{n}_0 = J(\mathbf{d}^f)\sigma(\mathbf{u}, p)F(\mathbf{d}^f)^{-T}\mathbf{n}_0, \quad \text{sur } \Gamma_0^w.$



# Plan

- 1 Modèle mathématique
- 2 Approche numérique**
- 3 Application
- 4 Conclusions et perspectives

# Discrétisation en temps (I)

Soit  $\delta t$  le pas de temps et  $t^n = n\delta t$ . Supposons que les quantités suivantes sont connues au pas de temps  $t^n$  :

- $\Omega^{f,n}$  : approximation de  $\Omega^f(t^n)$ ,
- $(\mathbf{u}^n, p^n)$  : vitesse et pression du fluide,
- $(\mathbf{d}^{f,n}, \mathbf{w}^n)$  : déplacement et vitesse du domaine fluide,
- $(\mathbf{d}^{s,n}, \mathbf{u}^{s,n})$  : déplacement et vitesse de la structure ;

**But** : calculer les mêmes quantités au pas de temps  $t^{n+1}$ .

## Discrétisation en temps (II)

Supposons  $\tilde{\mathbf{d}}^{s,n+1}|_{\Gamma_0^w}$  connu.

- Calcul du domaine fluide :

$$\mathbf{d}^{f,n+1} = \text{Ext}(\tilde{\mathbf{d}}^{s,n+1}|_{\Gamma_0^w}), \quad \mathbf{w}^{n+1} = \frac{\mathbf{d}^{f,n+1} - \mathbf{d}^{f,n}}{\delta t},$$

$$\Omega^{f,n+1} = (\text{Id} + \mathbf{d}^{f,n+1})(\Omega^{f,n}).$$

- Résolution des équations du fluide par un schéma d'Euler implicite :

$$(\mathbf{u}^{n+1}, \rho^{n+1}) = \mathcal{F}(\mathbf{d}^{f,n+1}).$$

- Résolution des équations de la structure par un schéma du point milieu :

$$\mathbf{d}^{s,n+1} = \mathcal{S}(\mathbf{u}^{n+1}, \rho^{n+1}).$$

# Stratégies de couplage

## Question :

Comment déterminer  $\tilde{\mathbf{d}}^{s,n+1}|_{\Gamma_0^w}$  ?

## Deux possibilités :

- Couplage **explicite** i.e. exprimer  $\tilde{\mathbf{d}}^{s,n+1}|_{\Gamma_0^w}$  en fonction de  $\mathbf{d}^s|_{\Gamma_0^w}$  au pas de temps précédents ;  
Problème : le schéma n'est pas stable dans les simulations pour la hémodynamique, car  $\rho^f \approx \rho^s$  (Causin, Gerbeau, Nobile 2004)
- Couplage **implicite** i.e. définir

$$\tilde{\mathbf{d}}^{s,n+1}|_{\Gamma_0^w} = \mathbf{d}^{s,n+1}|_{\Gamma_0^w}$$

# Stratégies de couplage

## Question :

Comment déterminer  $\tilde{\mathbf{d}}^{s,n+1}|_{\Gamma_0^w}$  ?

## Deux possibilités :

- Couplage **explicite** i.e. exprimer  $\tilde{\mathbf{d}}^{s,n+1}|_{\Gamma_0^w}$  en fonction de  $\mathbf{d}^s|_{\Gamma_0^w}$  au pas de temps précédents ;  
Problème : le schéma n'est pas stable dans les simulations pour la hémodynamique, car  $\rho^f \approx \rho^s$  (Causin, Gerbeau, Nobile 2004)
- Couplage **implicite** i.e. définir

$$\tilde{\mathbf{d}}^{s,n+1}|_{\Gamma_0^w} = \mathbf{d}^{s,n+1}|_{\Gamma_0^w}$$

# Couplage implicite

Le problème s'écrit :

$$(\mathbf{d}^{f,n+1}, \mathbf{u}^{n+1}, p^{n+1}) = \mathcal{F}(\mathbf{d}^{s,n+1}),$$

$$\mathbf{d}^{s,n+1} = \mathcal{S}(\mathbf{d}^{f,n+1}, \mathbf{u}^{n+1}, p^{n+1}),$$

donc, par composition :

**Trouver un point fixe :**

$$\mathbf{d}^{s,n+1} = \mathcal{S} \circ \mathcal{F}(\mathbf{d}^{s,n+1}) \Leftrightarrow \mathbf{d}^{s,n+1} - \mathcal{S} \circ \mathcal{F}(\mathbf{d}^{s,n+1}) = 0.$$

**Solution :**

Algorithme du type Newton (Gerbeau, Vidrascu 2003).

# Couplage implicite

Le problème s'écrit :

$$(\mathbf{d}^{f,n+1}, \mathbf{u}^{n+1}, p^{n+1}) = \mathcal{F}(\mathbf{d}^{s,n+1}),$$

$$\mathbf{d}^{s,n+1} = \mathcal{S}(\mathbf{d}^{f,n+1}, \mathbf{u}^{n+1}, p^{n+1}),$$

donc, par composition :

**Trouver un point fixe :**

$$\mathbf{d}^{s,n+1} = \mathcal{S} \circ \mathcal{F}(\mathbf{d}^{s,n+1}) \Leftrightarrow \mathbf{d}^{s,n+1} - \mathcal{S} \circ \mathcal{F}(\mathbf{d}^{s,n+1}) = 0.$$

**Solution :**

Algorithme du type Newton (Gerbeau, Vidrascu 2003).

# Plan

- 1 Modèle mathématique
- 2 Approche numérique
- 3 Application**
- 4 Conclusions et perspectives



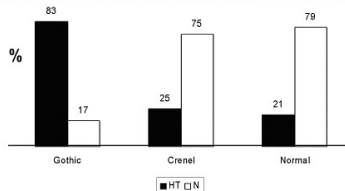
# Motivation

**Pathologie** : coarctation de l'aorte ;  
nécessite une réparation chirurgicale.

Principale cause de décès tardif :  
l'hypertension artérielle.

Travail de l'équipe de l'**Hôpital  
Necker** :

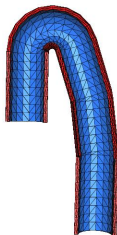
- classification des différentes formes observées après opération et cicatrisation en trois catégories ;
- étude de la relation entre la pression artérielle au repos et la forme de la crosse aortique.



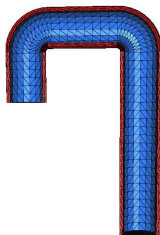
## Résultats (1)

- Simulations numériques : solveur couplage fluide-structure de la bibliothèque LifeV.
- Visualisation : Medit et OpenDX.
- Géométries : maillages générés avec Modulf.

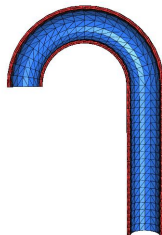
Crosse gothique :



Crosse créneau :

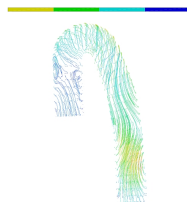
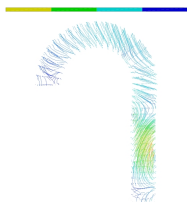


Crosse normale :

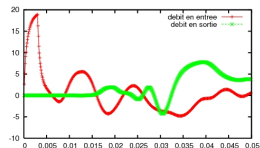
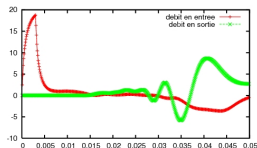


## Résultats (2)

- Lignes de courant : crosse normale vs. crosse pathologique :



- Débit : crosse normale vs. crosse pathologique :



## Résultats (3)

- Variation temporelle du débit  $Q$  en entrée :

$$\text{OFI} := \frac{1}{2} \left( 1 - \frac{\int_0^T Q \, dt}{\int_0^T |Q| \, dt} \right)$$

**OFI** : *Oscillatory Flow Index* (Taylor et al. 2002)

OFI = 0  $\Leftrightarrow$  débit positif

OFI > 0  $\Leftrightarrow$  recirculations

Ici : OFI crosse normale = 0 ; OFI crosse pathologique > 0.

# Plan

- 1 Modèle mathématique
- 2 Approche numérique
- 3 Application
- 4 Conclusions et perspectives**

# Conclusions et perspectives

## Conclusions

- Modélisation de l'écoulement sanguin dans l'aorte : phénomène fortement couplé d'interaction fluide-structure ;
- Étude qui permet d'obtenir des comportements qui sont conformes à ce que les médecins ont constaté en IRM.

## Perspectives

- Élaboration d'un modèle plus riche ;
- Reconstruction de la géométrie de la crosse aortique à partir de l'imagerie médicale.

# Conclusions et perspectives

## Conclusions

- Modélisation de l'écoulement sanguin dans l'aorte : phénomène fortement couplé d'interaction fluide-structure ;
- Étude qui permet d'obtenir des comportements qui sont conformes à ce que les médecins ont constaté en IRM.

## Perspectives

- Élaboration d'un modèle plus riche ;
- Reconstruction de la géométrie de la crosse aortique à partir de l'imagerie médicale.